

05.4; 11; 12

(C) 1992

ИССЛЕДОВАНИЕ МЕЖКРИСТАЛЛИТНЫХ ГРАНИЦ
СВЕРХПРОВОДЯЩЕЙ КЕРАМИКИ МЕТОДОМ
АТОМНО-СИЛОВОЙ МИКРОСКОПИИ

Е.В. Благов, Ю.Н. Моисеев,
В.М. Мостепаненко, В.И. Панов,
И.Ю. Соколов

Данная работа является развитием работы авторов [1]. Примененная в [1] методика восстановления рельефа поверхности в области стыка двух кристаллитов одинаковой конфигурации обобщена на случай кристаллитов различной конфигурации. Рассчитана сила взаимодействия острия АСМ с подобным образом. Как показано ниже, сравнение теоретических расчетов с экспериментальными данными позволяет получить информацию о конфигурации стыка, диэлектрических свойствах приповерхностного слоя и о глубине его залегания.

Рассчитаем поверхности постоянной силы в области стыка кристаллитов различной конфигурации. В настоящей работе использовались характерные геометрические параметры ВТСП керамики, которые наиболее часто наблюдались в эксперименте [2]. Характерный размер кристаллитов ВТСП-керамики ~ 1 мкм, тогда как размер переходной области 100 \AA . Это позволяет моделировать стык двух кристаллитов щелью, заполненной материалом с диэлектрической проницаемостью ϵ_2 и расположенной между двумя полубесконечными параллелепипедами из материала с диэлектрической проницаемостью ϵ_0 (высоты поверхностей кристаллитов над заполненной щелью обозначены H_1 и H_2).

Острие АСМ моделируется параболоидом вращения с радиусом кривизны R , находящимся на расстоянии d от поверхности первого кристаллита (рис. 1). Диэлектрическая проницаемость материала острия задана и имеет величину ϵ_1 .

Полная сила взаимодействия между острием АСМ и поверхностью складывается из обменных сил отталкивания ($F_{ot} > 0$) и ван-дер-ваальсовых сил притяжения ($F_{pp} < 0$):

$$F = |F_{ot}| - |F_{pp}|. \quad (1)$$

Расчет сил отталкивания упрощается тем обстоятельством, что обменная сила весьма быстро спадает с расстоянием $\sim e^{-r/\zeta_0}$, где r — расстояние между атомами, $\zeta_0 = (1-2) \text{ \AA}$. Поэтому вклад в силу отталкивания вносят практически только ближайшие атомы, расположенные на расстояниях $< 2 \text{ \AA}$. На указанных расстояниях

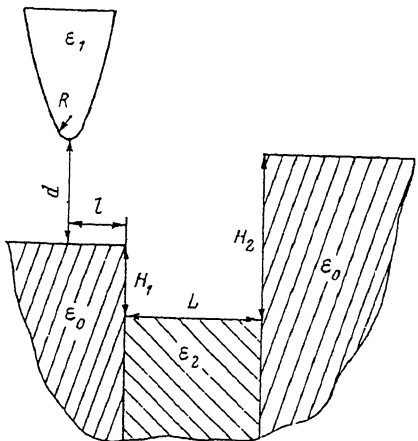


Рис. 1. Конфигурация „острие ACM – стык двух кристаллитов.”

потенциал сил отталкивания хорошо аппроксимируется выражением $\sigma(r) \sim r^{-12}$ [1]. Следовательно, полагая, что на окончании острия находятся N атомов, получим для силы отталкивания острия от плоской поверхности:

$$F_{ot} = \frac{\alpha N}{h^{13}}, \quad (2)$$

где α – константа межатомного обменного взаимодействия, h – расстояние от острия до поверхности монокристалла.

В случае поликристаллических керамик эта формула, очевидно, применима только тогда, когда острие находится над поверхностью одного из кристаллитов. При этом $h = d$, если оно находится над левым кристаллитом (см. рис. 1) и $h = d - H_2 + H_1$ – над правым. Если же острие находится между монокристаллами, то возможен случай, когда основной вклад в силу отталкивания вносит не взаимодействие с кончиком иглы, а отталкивание от его боковой поверхности.

Исходя из предположения, что количество атомов N , непосредственно взаимодействующих друг с другом, приблизительно одинаково и вблизи конца острия и в области боковых касаний острием кристаллитов (это условие введено для удобства вычислений и не оказывается существенно на конечном результате), можно записать следующее выражение для силы отталкивания острия в области между кристаллитами

$$F_{ot} = \frac{\alpha N}{d_1^{13}} + \frac{\alpha N}{d_2^{13}} + \frac{\bar{\alpha} N}{(d + H_1)^{13}}, \quad (3)$$

где α – константа обменного взаимодействия между острием ACM и веществом межкристаллической фазы, $A_{1,2}$ – расстояние от острия до краев кристаллитов.

Несложные тригонометрические расчеты дают:

$$\Delta i = |L - x_i| \sqrt{1 + R^2/x_i^2}, \quad i = 1, 2,$$

$$x_i = R \left\{ \left[\frac{L}{R} + \left(\frac{8}{27} \left(1 - \frac{\Delta z_i}{R} \right)^3 + \frac{L^2}{R^2} \right)^{1/2} \right]^{1/3} + \left[\frac{L}{R} - \left(\frac{8}{27} \left(1 - \frac{\Delta z_i}{R} \right)^3 + \frac{L^2}{R^2} \right)^{1/2} \right]^{1/3} \right\},$$

$$\Delta z_1 = -d, \quad \Delta z_2 = H_2 - H_1 - d. \quad (4)$$

Для вычисления силы притяжения, действующей между острием и образцом (рис. 1), воспользуемся методом аддитивного суммирования потенциалов с последующей перенормировкой полученной константы [3, 4] учитывющей неаддитивность ван-дер-ваальсова взаимодействия.

Суммируя аддитивно потенциалы ван-дер-ваальсова взаимодействия между отдельными атомами вида C/r^6 (где C – константа ван-дер-ваальсова взаимодействия, r – расстояние между атомами) по объемам острия и образца со стыком кристаллитов (рис. 1), получаем

$$F_{pp} = C N_1 N_2 \left[\frac{\pi^2 R}{12(d-H_2+H_1)^2} + \frac{\pi^2 R}{12d^2} + I(A=L, B=d) - \right. \\ \left. - I(A=L+L, B=d-H_2+H_1) \right] + \bar{C} N_1 N_2 \left[I(A=L+L, B=d+H_1) - \right. \\ \left. - I(A=L, B=d+H_1) \right]. \quad (5)$$

Здесь $C(\bar{C})$ – константа ван-дер-ваальсова притяжения между атомами острия ACM и монокристаллического вещества,

$$I(A, B) = -\frac{1}{4} B^{-3} (A^2 + 2RB)^{-3/2} [4A^2 + (R+2B^2)]^{-1/2} \times \\ \times \{ [7A^2 RB + 4B^3 R + 4B^2 R^2 + 2A^4 - 2B^2 A^2 - 8B^4] \sin(g(A)) \times \\ \times [2B^2 + A^2 + RB - |B| (4A^2 + (R+2B)^2)^{1/2}]^{1/2} + A (A^2 + 2RB)^{1/2} \times \\ \times (2B^2 - 5BR - 2A^2) [2B^2 + A^2 + RB + |B| (4A^2 + (R+2B)^2)^{1/2}]^{1/2} \}. \quad (6)$$

Перенормируя данный результат аналогично работам [1, 4], находим:

$$F_{pp} = H_{01} \left[\frac{R}{12(d-H_2+H_1)^2} + \frac{R}{12d^2} + I(A=L, B=d) - \right. \\ \left. - I(A=L+L, B=d-H_2+H_1) \right] + H_{12} [I(A=L+L, B=d+H_1) - \\ - I(A=L, B=d+H_1)], \quad (7)$$

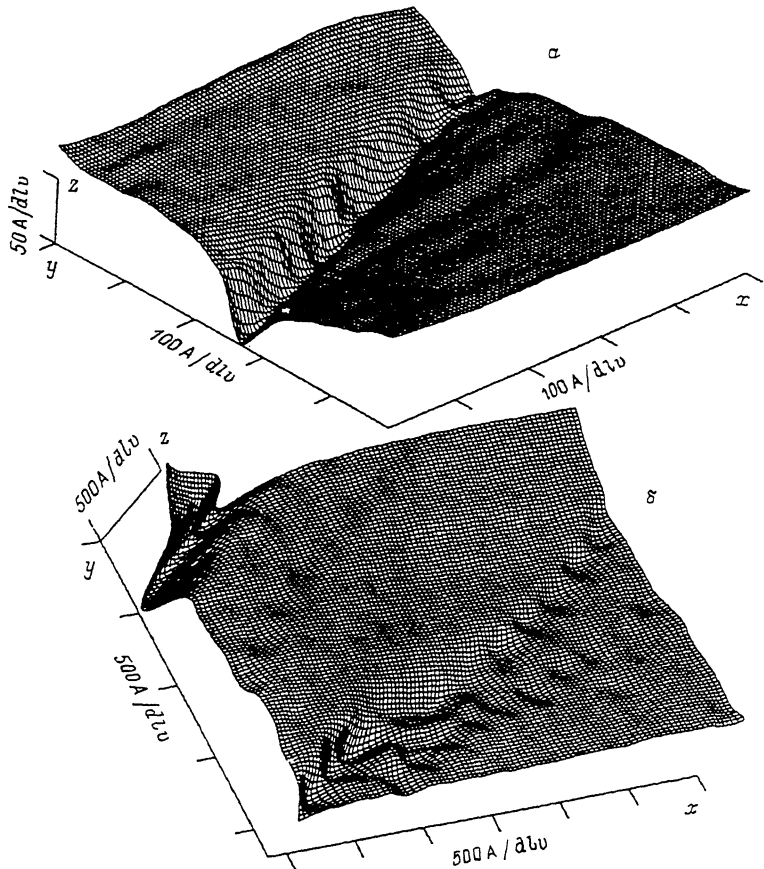


Рис. 2, а, б – АСМ – изображения стыка кристаллитов.

где $H_{01}(H_{12})$ – константы Гамакера для системы острье – кристаллит. Как известно [5]

$$H_{ik} \frac{3\hbar}{8\pi} \int_0^\infty x^2 dx \int_0^\infty d\xi \left[\frac{\varepsilon_i(i\xi) + 1}{\varepsilon_i(i\xi) - 1} \frac{\varepsilon_k(i\xi) + 1}{\varepsilon_k(i\xi) - 1} e^{x-1} \right]^{-1}, \quad (8)$$

где ε_i – диэлектрическая проницаемость.

Оценим теперь значения констант Гамакера в рассматриваемом случае. Используя приближенную аппроксимацию для ε в интересующей нас области

$$\varepsilon(i\omega) = 1 + \frac{\Omega^2}{\omega^2 + \omega_0^2}, \quad (9)$$

где параметры Ω и ω_0 можно извлечь из данных спектроскопических исследований [6, 2], находим для керамики $Bi_2Sr_2CaCu_2O_x$ следующую оценку $H_{00} \sim 0.8$ эВ. В то же время для лейкосапфира (материала острия ACM) [5] $H_{11} \sim 1$ эВ. Пользуясь приближенной формулой $H_{01} = \sqrt{H_{00}H_{11}}$, нетрудно найти, что искомое $H_{01} \sim 1.5$ эВ. Что касается обменного взаимодействия α , то как показывают экспериментальные оценки, аналогичные [1], для системы "лейкосапфир-керамика" константа $\alpha N = 6 \times 10^{-17}$ Н·нм¹³

Знание значений этих констант позволяет с использованием формулы (7) установить по результатам ACM-сканирования такие характеристики, как ширина межкристаллического промежутка L и высоты кристаллитов над веществом щели H_1 , H_2 .

Поверхности постоянной силы могут быть рассчитаны в результате решения уравнения $F = |F_{01}| - |F_{pp}| = const$ относительно неизвестной d при различных значениях параметра I (изменяющемся при движении острия). Радиус кривизны острия R полагаем при этом равным 100 Å [4].

Экспериментальное исследование стыка кристаллитов проводилось на атомно-силовом микроскопе, описанном в работах [1, 4, 7].

На рис. 2, а, б показано изображение поверхности стыков монокристаллитов, полученных на ACM. Поверхность кристаллитов имеет правильную форму и может использоваться для аппроксимации моделью рис. 1. Размер кадра сканирования на рис. 2, а равен (500 x 500) Å². Видимая глубина провала (50–60) Å. Ширина разлома, измеренная в эксперименте, (150–200) Å. На рис. 2, б размер кадра сканирования составляет (2000 x 3000) Å², ширина разлома 500 Å, глубина 300 Å.

На рис. 3, а, б изображены профили среза ACM – изображений рис. 2, а, б соответственно (кривые 1). При этом оси на обоих рисунках совпадают, а ось у рис. 3, а, б – это ось z рис. 2, а, б.

Проанализируем полученные данные. Для анализа ACM-изображений, приведенных на рис. 2, а, б, 3, а, б, воспользуемся полученными выше теоретическими результатами. Найдем сначала разность высот $H_2 - H_1$. При достаточном удалении от щели, т. е. при $I \gg L$ и $I \ll -L$ (формула (7)) выражение для силы (1) имеет следующие асимптотики:

$$F(d) = \frac{\alpha N}{d^{13}} - \frac{H_{01}R}{6d^2}, \quad \text{при } I \gg L,$$

$$F(d) = \frac{\alpha N}{(d - H_2 + H_1)^{13}} - \frac{H_{01}R}{6(d - H_2 + H_1)^2}, \quad \text{при } I \ll -L. \quad (10)$$

Решая уравнение постоянной силы $F(d) = F_0 = const$, найдем, что если при $I \gg L$ острие ACM двигалось на высоте d_0 от поверхности монокристаллита, то при $I \ll -L$ оно будет двигаться на высоте $d_0 - H_2 + H_1$. Это означает, что острие смешается на ве-

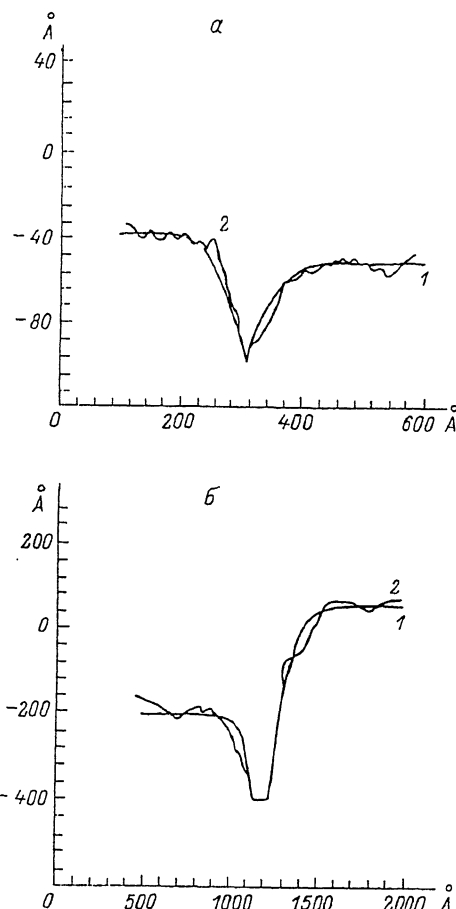


Рис. 3, а, б – профили среза АСМ изображений рис. 2, а, б соответственно.

величину $H_2 - H_1$, при переходе с одного монокристалла на другой не- зависимо от величины начальной силы сканирования F_0 .

Покажем теперь, как можно определить ширины щели L . Рассмотрим сначала более простой случай, изображенный на рис. 2, а. Срез профиля поверхности постоянной силы показан на рис. 3, а (линия 1). Как видно, острие, опустившись на $(50-60)$ Å, не достигло „дна“. Поэтому можно считать щель незаполненной, т. е. $\alpha N = 0$, $H_{12} = 0$. Как видно из рисунка и вышеизложенных рассуждений, $H_2 - H_1 = -15$ Å. Поэтому единственной неизвестной константой оказывается ширина щели L . Ее можно найти следующим образом. Построим сначала теоретическую кривую для указанной конфигурации, взяв при этом значения констант αN и H_{01} , полученные

выше. Варьируя затем величину L , находим наиболее близкую к экспериментальной теоретическую кривую. Такой кривой соответствует $L = 220 \text{ \AA}$. Теоретическая кривая показана для этого случая на рис. 3, а (линия 2).

Более сложный случай изображен на рис. 2, б и 3, б. Здесь игла достигает дна щели. Определим сначала разность высот кристаллитов. Аналогично предыдущему случаю, находим: $H_2 - H_1 = 240 \text{ \AA}$.

Отметим теперь, что линии постоянной силы проводились при $F_0 = 10^{-7} \text{ Н}$, т. е. в области значительного преобладания сил отталкивания. Ван-дерваальсовое взаимодействие составляет здесь лишь (5-7)% от общей силы. Это практически устраняет неоднозначность в определении значений L и H_1 . Так, при достижении дна щели, сила отталкивания острия от дна растет $\sim \alpha^{-1/3}$. Поэтому в достаточно широком диапазоне изменения неизвестной константы αN , величина H_1 практически не изменяется (изменение $H_1 \sim (\alpha N)^{1/3}$). Следовательно из рис. 3, б можно получить $H_1 = 210 \text{ \AA}$ с точностью до единиц ангстрем.

Далее, аналогично предыдущему случаю, подбирая L так, чтобы теоретическая кривая максимально соответствовала экспериментальной, найдем значение $L = 570 \text{ \AA}$.

Таким образом, проведенные эксперименты и их сопоставление с теоретическими результатами позволили определить характерные геометрические параметры межкристаллитных границ ВТСП керамики.

Список литературы

- [1] Благов Е.В., Моисеев Ю.Н., Мостепаненко В.М., Панов В.И., Соколов И.Ю. // Письма в ЖТФ. 1991. Т. 17. С. 87-90.
- [2] Физические свойства высокотемпературных сверхпроводников / Под ред. Д.М. Гинзберга. М.: Мир, 1990. 543 с.
- [3] Мостепаненко В.М., Соколов И.Ю. // ДАН СССР. 1988. Т. 298. С. 1380-1383.
- [4] Moiseev Yu.N., Mostepanenko V.M., Panov V.I., Sokolov I.Yu. // Phys. Lett. A. 1988. V. 132. P. 354-358.
- [5] Лифшиц Е.М., Питаевский Л.П. Статистическая физика. Ч.2. М.: Наука, 1978.
- [6] Krippl M., Schnabel W., Walter G. // J. Coll. I. Sci. 1970. V. 39. P. 421-423.
- [7] Моисеев Ю.Н., Мостепаненко В.М., Панов В.И., Соколов И.Ю. // ЖТФ. 1990. Т. 60. В. 1. С. 141-148.

Поступило в Редакцию
10 августа 1992 г.